

О СПЕКТРАХ ИОННО-ЗВУКОВОЙ ТУРБУЛЕНТНОСТИ  
В ПЛАЗМЕ

В. Ю. Быченков, В. П. Силин

УДК 533.951

Найдены спектры ионно-звуковой турбулентности магнитоактивной плазмы, отвечающие резко выделенной угловой зависимости и детализирующие спектр Кадомцева - Петвиашвили.

Одной из важных особенностей, характеризующих различные типы ионно-звуковых неустойчивостей плазмы, является угловая зависимость инкремента. Поскольку теория не определяла законов распределения ионно-звуковых турбулентных флуктуаций по углам, ограничиваясь распределением по частотам Кадомцева - Петвиашвили /2/, то влияние угловой зависимости инкремента на ионно-звуковую турбулентность (ИЗТ) оставалось до сих пор не изученным. В работе /2/ в рамках модели /1/ было найдено стационарное, в том числе и угловое, распределение ИЗТ в плазме без магнитного поля. В настоящем сообщении подход работы /2/ распространен на случай плазмы в магнитном поле, что позволило выявить своеобразие углового распределения ИЗТ плазмы с замагниченными электронами.

Ниже для определенности будем говорить о ионно-звуковой неустойчивости, инициируемой током, поскольку обобщение, например, на случай неустойчивости, обусловленной тепловым потоком, проводится trivialно (см. /2/). Магнитное поле будем считать ориентированным вдоль направления токовой скорости  $\bar{u}$ . В работе /2/ показано, что теория ИЗТ допускает существование сильно анизотропных квазистационарных спектров вида

$$N(\vec{k}) = N(k, \theta) = N(k)\delta(\cos\theta - \cos\theta_0), \quad (I)$$

где  $N(\vec{k})$  - число ионно-звуковых волн с волновым вектором  $\vec{k}$ ,  $\theta$  - угол между направлением токовой скорости и волновым вектором. Распределение турбулентных шумов  $N(k)$  и угол  $\Theta_0$ , определяющий направление угловой анизотропии турбулентности, находятся из условий

$$\gamma_{NL}(k, \Theta_0) = 0, \quad (2)$$

$$\partial \gamma_{NL}(k, \theta) / \partial \cos \theta \Big|_{\theta=\Theta_0} = 0, \quad (3)$$

$$\partial^2 \gamma_{NL}(k, \theta) / \partial (\cos \theta)^2 \Big|_{\theta=\Theta_0} < 0 \quad (4)$$

обращения в нуль максимума нелинейного инкремента

$$\gamma_{NL}(k, \theta) = \gamma(k, \theta) + \frac{k^2 v_{Ti}^2}{4\pi n_e e \alpha T_e} \frac{\partial}{\partial k} k^4 \int d\theta' \sin \theta' Q(\cos \theta, \cos \theta') N(k, \theta'). \quad (5)$$

Здесь  $\gamma$  - линейный инкремент неустойчивости,  $T_e$  - температура электронов (с плотностью  $n_e$ ), существенно превосходящая температуру ионов,  $v_{Ti}$  - тепловая скорость ионов,  $\alpha$  - постоянная Больцмана. Вторым слагаемым в правой части формулы (5), обусловленным нелинейным затуханием ионного звука на ионах, определяется насыщение неустойчивости /1/. Для величины  $Q(\cos \theta, \cos \theta')$  имеем /2/:

$$Q(x, y) = x^2 y^2 + (1/2)(1 - x^2)(1 - y^2) - x^4 y^4 - (3/8)(1 - x^2)^2(1 - y^2)^2 - 3x^2 y^2(1 - x^2)(1 - y^2). \quad (6)$$

Соотношение (5) записано в условиях  $k r_{De} \ll 1$  ( $r_{De}$  - дебаевский радиус электронов), поскольку именно эта область длин волн вносит вклад в энергию ИЗТ /1-3/.

Формулы (5) и (6) описывают нелинейное взаимодействие волн в плазме в магнитном поле только лишь для не слишком длинных волн, когда  $k r_{De} > \Omega_i / \omega_{Li}$ , где  $\Omega_{i(e)}$  - циклотронная ионная (электронная) частота,  $\omega_{Li(e)}$  - ленгмюровская ионная (электронная) частота. Такое условие будем считать выполненным.

Обратимся сначала к рассмотрению случая полностью замагниченного движения электронов, когда

$$kp_e \ll 1, \quad (7)$$

что в условиях  $kr_{De} < 1$  выполняется в сильном магнитном поле  $\Omega_e \gg \omega_{Le}$ . Тогда для инкремента ионно-звуковой неустойчивости имеем

$$\gamma(k, \theta) = \sqrt{\frac{\pi}{8}} \frac{\omega_{Li}}{\omega_{Le}} kv_s \frac{pcos\theta - 1}{icos\theta}, \quad (8)$$

где  $v_s$  — скорость ионного звука,  $p = u/v_s$  — надпороговость. Используя выражение (8), получаем в области  $kr_{De} < 1$  следующее решение уравнения (2):

$$N(k) = \frac{4\pi n_e e T_e}{k^2 v_{Ti}^2} \frac{\gamma(k, \theta_0)}{Q(\cos\theta_0, \cos\theta_0)} \ln \frac{1}{kr_{De}}. \quad (9)$$

Зависимость этого решения от волнового числа  $k$  отвечает спектру Кадомцева — Петвиашвили. Величина  $\theta_0$ , согласно уравнению (3) и выражению (9), определяется уравнением:

$$Q(\cos\theta_0, \cos\theta_0) = \cos\theta_0 (pcos\theta_0 - 1) \partial Q(\cos\theta, \cos\theta_0) / \partial \cos\theta \Big|_{\theta=\theta_0}. \quad (10)$$

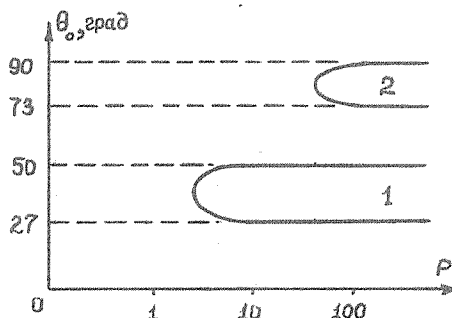


Рис. I. Решение уравнения (10) как функция надпороговости

Решение уравнения (10)  $\theta_0(p)$  как функция надпороговости изображено на рис. I. Из этого рисунка видно, что при  $1 \leq p \leq 2$  уравнение (10) решений не имеет. При  $2 \leq p \leq 70$  возникают два корня (кривая I рис. I)  $\theta_{01}^{(1)}$  и  $\theta_{02}^{(1)}$ . В случае  $p = 2$  имеем  $\theta_{01}^{(1)} = \theta_{02}^{(1)} \approx 37^\circ$ , а в пределе  $p \gg 1$  получаем  $\theta_{01}^{(1)} \approx 27^\circ$ ,  $\theta_{02}^{(1)} \approx 50^\circ$ . При больших надпороговостях  $p \geq 70$  уравнение (10) имеет четыре корня, отвечающих кривым I и II на рис. I, то есть наряду с  $\theta_{01}^{(1)}, \theta_{02}^{(1)}$  возникают решения  $73^\circ < \theta_{01}^{(2)} < \theta_{02}^{(2)} < 90^\circ$ , асимптотические значения которых при  $p \rightarrow \infty$  оказываются равными  $\theta_{01}^{(2)} \approx 73^\circ$ ,  $\theta_{02}^{(2)} = 90^\circ$ , причем  $\cos\theta_{02}^{(2)} \approx (4p)^{-1/3}$ . При  $p = 70$  имеем  $\theta_{01}^{(2)} \approx \theta_{02}^{(2)} \approx 77^\circ$ . Непосредственной подстановкой легко убедиться, что неравенство (4), записывающееся в виде

$$2\partial Q(\cos\theta, \cos\theta_0)/\partial\cos\theta \Big|_{\theta=\theta_0} + \\ + \cos\theta_0 \partial^2 Q(\cos\theta, \cos\theta_0)/\partial(\cos\theta)^2 \Big|_{\theta=\theta_0} > 0, \quad (II)$$

выполняется для всех возможных решений уравнения (10).

Таким образом, в фазовом пространстве волновых векторов область турбулентности в магнитоактивной плазме, также как и в плазме без магнитного поля, представляет собой конус, причем, порог возникновения состояния с такой сингулярной областью турбулентности превышает порог ионно-звуковой неустойчивости. В отличие от плазмы без магнитного поля, число возможных конусных состояний возрастает от двух /2/ до четырех. Обратим внимание, что в пределе  $p \rightarrow \infty$  зависимость инкремента (8) от угла сводится к  $\text{sign } \cos\theta$ . Тем не менее возникает несколько возможных предельных значений  $\theta_0$ :

Обратимся теперь к случаю сравнительно слабых магнитных полей, когда  $\Omega_e \ll \omega_{Le}$ . Тогда в фазовом пространстве волновых векторов возникает область

$$k_{pe} > 1 > k_{De}, \quad (I2)$$

дополняющая рассмотренную выше область турбулентности (7). При этом в области (I2) влияние магнитного поля на электроны оказывается существенным для почти поперечного распространения ионного звука, когда

$$k_p \cos \theta \ll 1, \quad (13)$$

а для инкремента неустойчивости вместо (8) имеем

$$\chi(\theta) = \frac{1}{4} \left( \frac{\omega_{Li}}{\omega_{Le}} \right)^2 \Omega_e \frac{p \cos \theta - 1}{|c \cos \theta| \sin \theta}. \quad (14)$$

При этом  $|c \cos \theta| \gg (\omega_{Li}/\omega_{Le})$ .

Покажем теперь, что в условиях (12), (13) возможно существование конусного спектра с углом  $\Theta_0 \approx \pi/2$ . Действительно, уравнение (3) при использовании (14) и (1) принимает вид:

$$\begin{aligned} & [1 + \operatorname{ctg}^2 \Theta_0 (p \cos \Theta_0 - 1)] Q(\cos \Theta_0, \cos \Theta_0) = \\ & = \cos \Theta_0 (p \cos \Theta_0 - 1) \left. \frac{\partial Q(\cos \theta, \cos \Theta_0)}{\partial \cos \theta} \right|_{\theta=\Theta_0}. \end{aligned} \quad (15)$$

В пределе  $p \gg 1$  это уравнение имеет решение  $\cos \Theta_0 \approx (3p)^{-1/3}$ , которое удовлетворяет неравенству (4). Наконец, распределение энергии ионного звука по абсолютным значениям волновых чисел дается формулой:

$$N(k) = 32 \pi n_e \omega T_e \chi(\Theta_0) k^5 v_{Ti}^2, \quad (16)$$

где  $\chi(\Theta_0) = (\omega_{Li}/2\omega_{Le})^2 \Omega_e p$ . Таким образом, при  $\omega_{Le} \gg \Omega_e$  в коротковолновой области  $k \gg \rho_e^{-1}$  в условиях сильной надпороговости  $p \gg 1$  устанавливается стационарное распределение турбулентных пульсаций на конусе почти перпендикулярном направлению тока. При этом с уменьшением длины волны интенсивность пульсаций спадает быстрее, чем в случае спектра Кадомцева – Петвиашвили.

Нам представляется, что вопрос о том, какое из четырех найденных конусных распределений ИЗТ в случае сильного магнитного поля ( $\Omega_e \geq \omega_{Le}$ ) реализуется на опыте, следует ставить применительно к конкретным условиям эксперимента. Вместе с тем уже сейчас имеется экспериментальное свидетельство возбуждения ИЗТ в направлении поперек тока, полученное в работе /4/ в условиях

$\omega_{Le} \approx \Omega_e$ ,  $p \approx 50 - 80$ , отвечающее установленной нами возможности генерации шумов поперек тока ( $p \geq 70$  при  $\Omega_e \geq \omega_{Le}$ ).

Поступила в редакцию  
10 июля 1981 г.

### Л и т е р а т у р а

1. Б. Б. Кадомцев, Турублентность плазмы, в сб. Вопросы теории плазмы, 4, М., Атомиздат, 1964 г., с. 258.
2. В. Ю. Быченков, В. П. Силин, ДАН СССР, 260, № 5 (1981).
3. А. А. Галеев, Р. З. Сагдеев, Нелинейная теория плазмы, в сб. Вопросы теории плазмы, 7, М., Атомиздат, 1973 г., с. 101.
4. W. Gekelman, R. L. Stenzel, Phys. Fluids, 21, 2014 (1978).